

기계안전분야

UPS를 위한 내진검증 해석 모델 개발연구

서 육환

한라대학교

1. 서론

원자력 안전과 관련된 시스템에서 요구되는 것 중에서 필수적인 것은 내진 발생에 대비하는 검증이 있다. 이 논문은 내진 검증을 증명하고 장차 사용을 위한 증명된 유한요소 해석모델을 개발하는 방법이 재시되었다. 여기서 사용된 모델은 한국원자력연구소의 KMRR에서 사용되기 위해 이화전기산업(주)에서 제작되었다.

원자력 안전과 관련된 구조물 및 부품의 내진검증은 유한요소해석에 의한 방법, 내진시험 및 두 가지 방법을 조합한 방법이 사용되기도 한다[6,7]. 전기 구조물 혹은 기기는 경제적인 측면에서 유한요소해석 방법이 가장 유용한 방법으로 알려져 있다. 이 기술은 전체 구조물의 상세한 응력해석 뿐만 아니라 시험방법의 어려움과 비용절감에 무척 도움이 된다. 그리고 유한요소 모델 및 해석은 쉽게 구조물의 재구성 등으로 소정의 임무를 수행하게 된다. 덧붙여서 거대한 구조물의 구성 및 다중 힘의 부하에도 쉽고 효과적으로 임무를 수행하게 된다. 그러므로 UPS 기기를 위한 유한요소모델의 개발은 매우 중요하다.

일반적으로 이러한 원자력 발전소의 기계구조물 및 부품의 응력해석용의 수학적인 모델은 모달시험에서 증명된 방법의 하나로 인정되었다. 이러한 목적으로 수행된 수학적 모델의 결과는 정확하여 현장시험결과와 같이 병행해서 응용되고 있다.

2. 이론 전개

유한요소법을 이용한 내진검증의 이론적인 전산 모델개발, 모달주파수 해석 및 응력범위 등이 다음에 설명된다.

2.1 유한요소 모델

유한요소해석법에 의한 내진검증의 정밀도는 전산모델에서 좌우된다. 구조물의 동적특성치 및 질량분포가 요구되는 노드 및 요소에 의한 모델링은 실제 요소의 기계적인 성질 및 기하학적인 구조와 잘 일치하여야 한다. 즉 실제 기기에서 사용되는 모든 부분이 고려되어야 한다. 원자력발전소에서 사용되는 기기 및 부품은 전기적인 구조 즉, 전기기기, 구동모터, 콘트롤 밸브 등의 구조해석을 간단히 하기 위하여 Lump 질량 요소가 사용된다. 이렇게 설치된 구조물은 실제 이론 해석 방법, 유사해석 및 내진시험 등의 최선의 방법으로 검증 완료된다. 각각의 기기 및 부품으로 구성된 완성품의 연결은 Gap 요소와 같은 방법을 이용해서 정교하고 보수적인 해석을 수행하게 된다. Lump 요소 및 Gap 요소 등으로 간단 명료하게 된 컴포넌트들은 구조적 내진검증해석으로 부터의 내진하중을 이용하여 해석된다. 또한 기기의 설치조건은 실제의 전산 경계조건을 만족하는 방법으로 이용된다. 마지막으로 유한요소해석 코드를 사용해서 요소 및 노드 구성 및 다른 영상기능으로 검증되어야 한다.

2.2 Mode 주파수 해석

Mode 주파수 해석은 구조물의 기본 자유 진동수들에 의해서 수행된다. 모델이 일정한 Stiffness 및 질량효과, No damping 및 자유진동 상태라고 가정하면 모델의 자유진동주파수해석을 위한 운동방정식은 다음과 같이 주어진다.

$$[M] \frac{\partial^2 u}{\partial t^2} + [K] \{u\} = \{0\} \quad (1)$$

여기서 $[K]$ 는 구조 Stiffness matrix, $[M]$ 은 질량 Matrix, 그리고 $\{u\}$ 는 모델의 진동치를 나타낸다. 또 선형계에서 자유진동은 Harmonic 형태로 나타내어진다.

$$u = \psi_i \cos \omega_i t \quad (2)$$

여기서 ψ_i 는 ith Natural frequency 의 Mode shape를 대표하는 Eigenvector, ω_i 는 ith 자유진동수 주파수 및 t 는 시간을 각각 나타낸다.

식 (2)을 식 (1)에 대입하면

$$\{ -\omega_i^2 [M] + [K] \} \{ \psi_i \} = \{ 0 \} \quad (3)$$

그러므로 위 식으로부터 자유진동 주파수는 다음과 같이 나타내어진다.

$$f_i = \frac{\omega_i}{2\pi} \quad (4)$$

여기서 f_i 는 자유진동 주파수이다.

2.3 평가 기준

이 논문에서 사용된 평가기준은 유한요소 모델 해석으로부터 얻은 자유진동 주파수를 현장 시험의 결과치와 비교하는 것이다. 여기서는 시험 결과에 대해서 5%이내의 값을 채택하였다.

2.4 예비 해석

UPS에 대한 유한요소 내진해석이 예비 조사 목적으로 수행되어 그 결과는 KONEL/Wyle Report # RN 001-93[2]에 수록되어 있다.

이 예비모델은 약간 수정되어 Pre-test frequency analysis로 사용되었다. 이 내진 모델의 경계조건은 Three global transitional direction 및 X, Y 및 Z 축에 대한 Three rotational direction이다. Eigenvalue 해석은 Lanczos technique[1]을 이용하여 모드 50 Hz 까지 수행되었다. 그 결과는 Table 1에 표시되었다. 이 모델의 Isometric view 가 Figure 1에 유한요소 구성으로 나타내어진다.

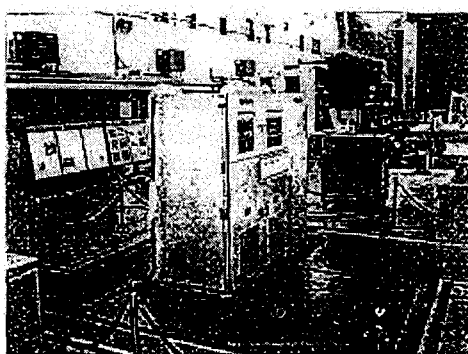


Figure 1 Test setup details

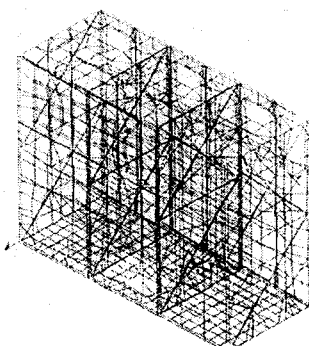


Figure 2 An isometric view of UPS

3. Experimental Approaches

3.1 Specimen Description

이 120 VAC UPS(Uninterruptible Power Supply System)는 Figure 2와 같이 3개의 cabinet (UPS Module, Static Transfer Switch, Mechanical Bypass Switch, Synchronizing Equipment 및 Protective Devices)로 구성되어 있다.

3.2 Seismic Qualification Test

내진시험은 고정된 기기에 지진이 일어나는 것을 가정하여 보수적으로 기기의 진동운동을 수행한다.

3.2 Modal Survey Test

UPS의 Modal survey test는 이화전기산업(주)의 Dynamics Facility에서 수행되었다. 기기는 30-foot square, 250,000 lbs Concrete reaction mass에 단단히 고정되었다. 여기서 사용되는 판 및 블트는 2-inch thick Carbon steel plate 및 1.5-inch bolt이었다. 이 2-inch Plate는 embedded Steel beam을 갖는 Concrete reaction mass에 용접되었다.

UPS에 사용된 Instrument는 Figure 3에 보인 40 Accelerometer가 설치되었다. 그 위치는 예비 기초 해석의 결과와 비교하여 가장 중요한 모드를 추출하여질 수 있는 부분에 크기 및 수를 정하여 장착하였다.

이 시험은 Hewlett-Packard (Model 5423A) Structural Dynamic Analyzer[2]를 사용하여 수행되었다. Data 취득은 각각의 Accelerometer location에 Random signal을 주어 Input force 및 Output structural response 추출해 낼 수 있도록 진동시켜 수행하였다. 이 시험을 수행하는 동안 100 Hz까지의 진동 주파수를 갖는 모드가 추출될 수 있도록 설치하였다. 0에서 50 Hz까지의 Natural frequency 및 Mode shape을 Table 1에 나타내었다.

Table 1. Comparison of test and pre-test analysis frequencies.

| Accel. No. | Axis | Nat. Freq. results | | Ref. | |
|---------------|------|-----------------------|---------------|------------------|------------------|
| | | Pre-test Analysis | Modal Test | Percent Error | Status |
| 1X | S-S | | 19.2 | | |
| 1Y | F-B | | 20.3 | | |
| 2Y | F-B | | 20.5 | | |
| 3Y | F-B | | 29.4 | | |
| 4Y | F-B | | 28.3 | | |
| 5Y | F-B | 25.0 | 25.1 | | |
| 6Y | F-B | 15.1 | 15 | | |
| 7Z | V | | - | | |
| 8Y | F-B | 34.2 | 29.7 | 15.0 | Unaccep table |
| 8Z | | | - | | |
| - | | 7 | - | | |
| - | | 10.0 | - | | |
| 10Y | F-B | 34.4 | 28.7 | 20.0 | Unaccep table |
| 10Z | V | | - | | |
| 11Y | F-B | 29.0 | 20.8 | 40.0 | Unaccep table |
| 11Z | V | | - | | |
| 12Y | F-B | 35.2 | 28.8 | 22.3 | Unaccep table |
| 12Z | V | 12.0 | - | | |
| 13X | S-S | | 20.8 | | |
| 13Y | F-B | 20.0 | 19.0 | | |
| 14Z | V | | - | | |
| 15Y | F-B | | 28.8 | | |
| 16X | S-S | | 38.3 | | |
| 17X | S-S | 20 | 19.5 | | |

LEGEND :F-B = Front-to-Back
 S-S = Side-to-Side
 V = Vertical

Table 2. Comparison of test and post-test analysis frequencies.

| Accel. No. | Axis | Nat. Freq. results | | Ref. | |
|---------------|------|-----------------------|---------------|------------------|----------------|
| | | Post-test Analysis | Modal Test | Percent Error | Status |
| 1X | S-S | 24.7 | 19.2 | | |
| 1Y | F-B | 20.5 | 20.3 | | |
| 2Y | F-B | 20.9 | 20.5 | | |
| 3Y | F-B | 29.8 | 29.4 | | |
| 4Y | F-B | 28.6 | 28.3 | | |
| 5Y | F-B | 25.0 | 25.1 | | |
| 6Y | F-B | 15.1 | 15 | | |
| 7Z | V | | | | |
| 8Y | F-B | 30.6 | 29.7 | 3.0 | accept able |
| 8Z | | | | | |
| - | | | | | |
| - | | | | - | |
| 10Y | F-B | 29.3 | 28.7 | 2.0 | accept able |
| 10Z | V | | - | | |
| 11Y | F-B | 20.2 | 20.8 | 2.5 | accept able |
| 11Z | V | | - | | |
| 12Y | F-B | 29.9 | 28.8 | 4.0 | accept able |
| 12Z | V | | - | | |
| 13X | S-S | 21.2 | 20.8 | | |
| 13Y | F-B | 19.6 | 19.0 | | |
| 14Z | V | | - | | |
| 15Y | F-B | 29.2 | 28.8 | | |
| 16X | S-S | 38.9 | 38.3 | | |
| 17X | S-S | 20.1 | 19.5 | | |

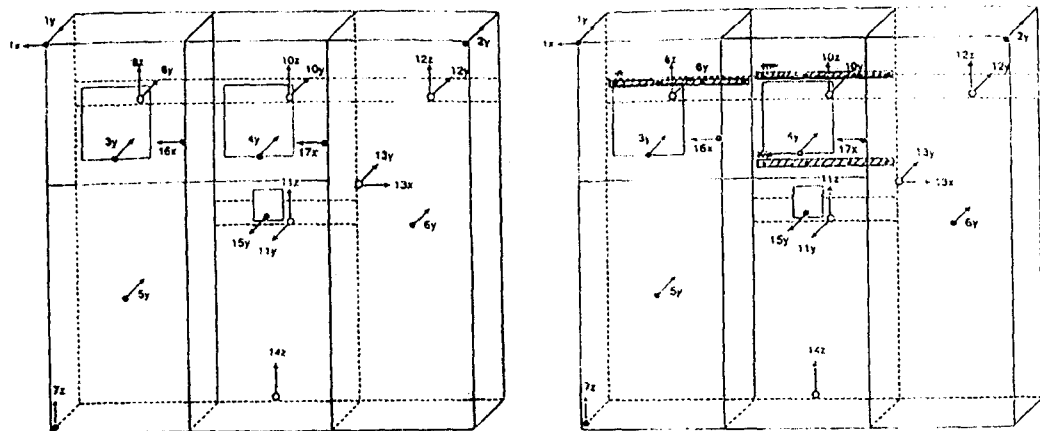


Figure 3. Accelerometer mounting locations. Figure 4. Outline of attached each supplement bar on Device Panels in the upper part of the Charger and Inverter Cabinets

Note: Supplement bar dimension

* 30x2.6t flat bar ** 50x50x6 mm angle bar

4. Comparison of Measured and Predicted Frequencies and Results

4.1 Pre-test Analysis

같은 진동 Mode shape 특성치를 갖는 예상된 해석치와 시험주파수 평가기준치의 비교가 0부터 50 Hz 사이에서 이루어졌다. 비교결과 시도모델시험결과에서 적합하지 못한 부분을 수정하였다.

Test 및 Pre-test 해석 결과의 비교는 Table 1에서와 같이 상당한 차이를 보여주고 있다. 이 Pre-test 해석 결과는 약간의 주 System mode의 사라짐을 갖는 동안 상당한 추가 mode를 생산하였다.

Charger cabinet panel의 뒷 부분의 Y mode는 15.0 %의 에러를 갖는 34.2 Hz을 예측하였다. 또한 Inverter cabinet 의 뒷 부분도 받아들일 수 없는 에러를 갖는 34.4 Hz를 기록하였다. Mode 11 및 12는 완전히 사라졌으며 다른 상부의 시스템 Mode도 사라지거나 받아들일 수 없는 에러 값을 예측하였다.

4.2 Tuning of the Analysis(Post-test Analysis) Model and Results

Post-test analysis 와 현장Test 의 비교평가가 다단계에 걸쳐 수행되었다.

Global coordinate system에서 부 적절히 계산된 모든 Rotary inertia는 그들의 Local coordinate system에 의해서 수정되었다. UPS의 Base에서의 경계조건은 오직 Three translational 방향에 고정된 것으로 변경되었다. 또 Base에서의 Rotational 고정이 release 되었다. 모든 이 연합수정은 Table 2에 보였듯이 채택 할 수 있는 값 5 %이내의 낮은 값을 Y mode에서 가져왔다. Charger 및 Inverter cabinet의 윗 Device panel 부분에 Figure 4 와 같이 수정을 가하였다. Charger 및 Inverter의 윗 부분의 Device panel 위에 지지 질량의 충분한 견고함을 위하여 각각의 보강 재를 설치하였는데 이는 지지 계를 견고하게 만들기 위한 시도였다. 결국 이 수정은 Rotary inertia와 연합하여 첫 번째 mode를 15.1 Hz 까지 향상되게 하였다.

시험결과의 정확성을 가정하면 0부터 50 Hz 사이의 주파수 범위에서 새로운 해석 모델은 거의 같은 Mode를 나타내었다. Table 2에서 보여주듯이 이 모드들을 약 5 % 이내의 예측치를 나타내었다.

수정한 부분에서도 33 Hz 이상을 갖는 Mode 들은 내진검증해석의 결과에 아무런 영향을 주지 않았다.

5. 결론

이 UPS 모달시험 결과는 0부터 50 Hz 사이의 특출하고 주요한 Mode를 나타내었다. 이 진동수 사이에서는 세 개의 직각 방향의 첫 번째 기본 진동주파수가 있으며 두 번째는 Y mode에, 40 Hz 이상에서는 3 개의 Higher system mode가 존재하였다.

시험결과의 정확성을 가정하면 0부터 50 Hz 사이의 주파수 범위에서 새로운 해석 모델은 거의 같은 Mode를 나타내었다. Table 2에서 보여주듯이 이 Mode들은 약 5 % 이내의 예측치를 나타내었다.

수정한 부분에서도 33 Hz 이상을 갖는 Mode 들은 내진검증해석의 결과에 아무런 영향을 주지 않았다.

원자력발전소에서 안전과 관계가 있는 계나 부품은 부여된 내진 Event에 의하여 유한유소해석에 의해 검증될 수 있다.

시험이나 여기서 개발된 모델에 의해서 수행된 내진검증해석은 내진업무 수행에 아무런 중요한 차이점을 발견할 수 없었다. 결국 평가 기준에서 제시한 약 5 % 이내의 차이점을 가져왔다. 그러므로 여기에서 수행 개발된 UPS 모델은 참고문헌 [6,7]의 목적을 충분히 만족하였으며 최종 내진검증응력모델로서 적절하였다.

참고문헌

- (1) COSMOS/M User's Manual, Structural Research and Analysis Corporation, Santa Monica, California, 1990.
- (2) KONEL/Wyle Laboratories' Report No. RN 001-93, Seismic Qualification Test Report, 1993.
- (3) Clough, R. W. And Penzien, J., Dynamics of Structures, McGraw-Hill Book Company, New York, 1975.
- (4) Meirovitch, L., Elements of Vibration Analysis, McGraw-Hill book company, New York, 1986.
- (5) Humar, J. L., Dynamics of Structures, Prentice-Hall, Inc., Englewood Cliffs, 1990.
- (6) ANSI/IEEE Std. 344-1987, IEEE Recommend Practice for Seismic Qualification of class 1E Equipment for Nuclear Power Generating Stations, IEEE, 345 E. 47th St., N.Y, N.Y10017, U.S.A.
- (7) U.S. Nuclear Regulatory Commision, Regulatory Guide 1.100, Seismic Qualification of Electric and Mechanical Equipment for Nuclear Power Plants, Rev.2, June 1988.